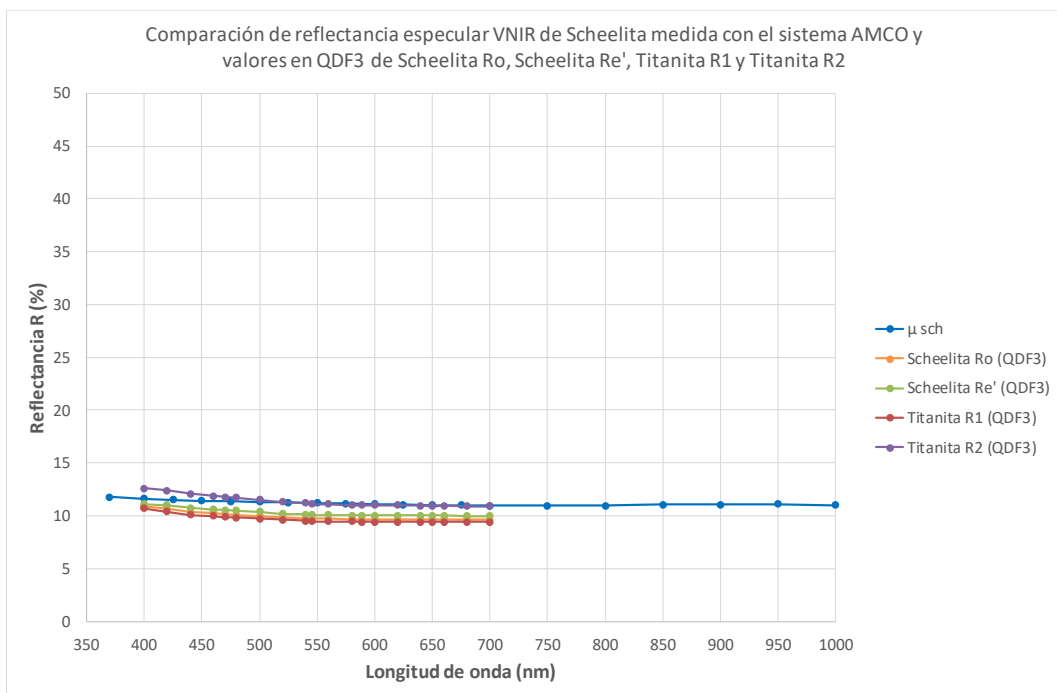
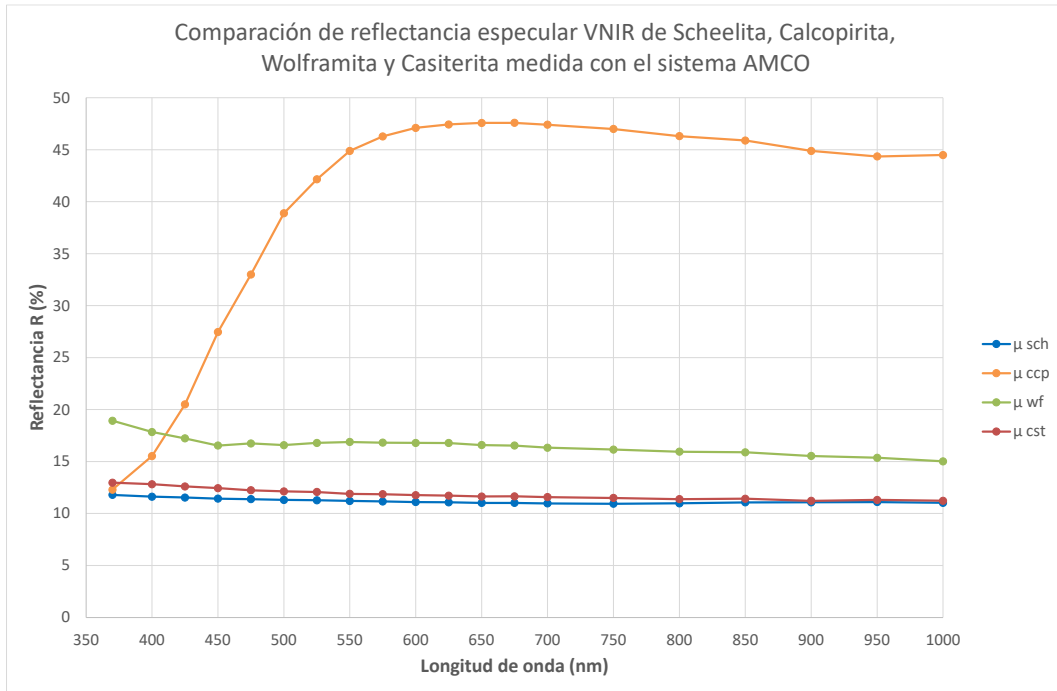
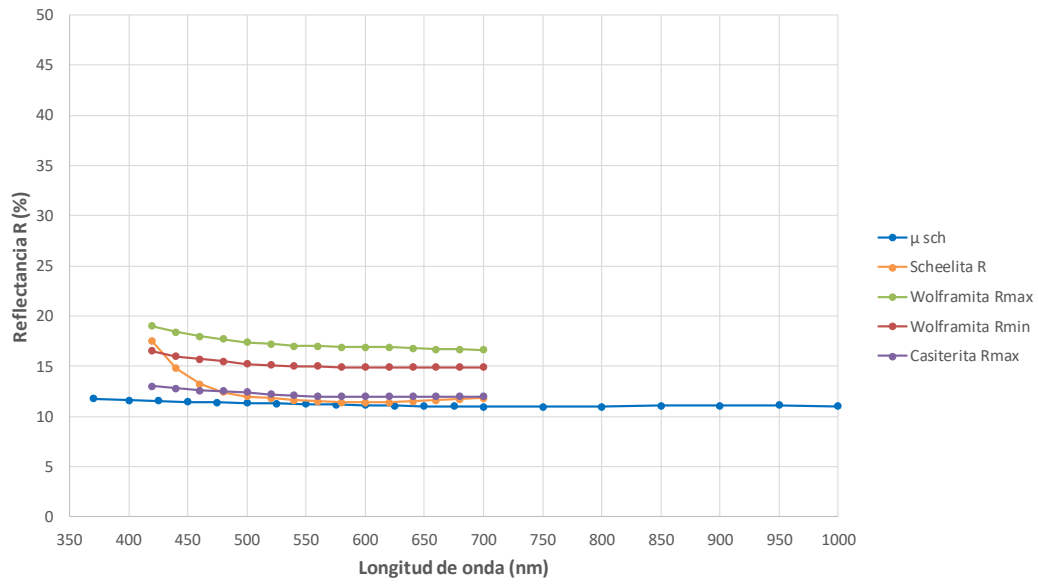


SCHEELITA: REFLECTANCIA MULTIESPECTRAL R (en aire, sin polarizador) (%)

λ (nm)	370	400	425	450	475	500	525	550	575	600	625	650	675	700	750	800	850	900	950	1000
μ	12,0	11,9	11,8	11,7	11,7	11,6	11,6	11,5	11,4	11,4	11,3	11,3	11,3	11,2	11,2	11,2	11,3	11,3	11,3	11,3
P_5	11,2	11,0	10,9	10,7	10,6	10,5	10,4	10,3	10,3	10,2	10,2	10,1	10,1	10,0	10,1	10,2	10,5	10,5	10,5	10,5
P_{20}	11,5	11,3	11,2	11,1	11,0	10,9	10,8	10,7	10,7	10,6	10,6	10,5	10,5	10,5	10,5	10,6	10,7	10,7	10,7	10,7
P_{80}	12,5	12,3	12,2	12,1	12,1	12,0	12,0	12,0	12,0	12,0	11,9	11,9	11,9	11,8	11,7	11,8	12,0	12,0	12,0	11,9
P_{95}	13,4	13,2	13,1	13,1	13,1	13,0	13,0	12,9	12,9	12,8	12,8	12,7	12,7	12,6	12,6	12,6	12,5	12,7	12,8	12,7



Comparación de reflectancia especular VNIR de Scheelita medida con el sistema AMCO y valores en Picot&Johan (1982) de Scheelita R, Wolframita Rmax, Wolframita Rmin y Casiterita Rmax



Reflectancia especular en el espectro visible de Scheelita Ro y Scheelita Re' en QDF3 y de Scheelita R y Wolframita Rmax en Picot&Johan (1982)

